

北大工 正員 佐伯 若
若小牧市役所 正員 横山 隆夫
(株)前田建設 正員 北村 昌文

§1. 緒論 一様に水深が変化する水路を波が進行する場合の波の変形に関する研究は数多く発表されているが、本研究は特に波高の変化についての実験結果について報告する。

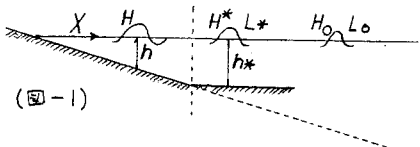
§2. 実験装置及び実験方法 実験は長さ24m、幅0.6mの両面ガラス張り金剛盤水路で行った。水底勾配は鋼格子状フレームにアクリル板を3張ったもので底面摩擦の減少による3かげた。波高、波長の測定は50cm間隔に抵抗線式波高計を設置する事により求めた。

§3. 沖波波高 H_0 の推定方法 一般に水深変化に伴う波高変化は

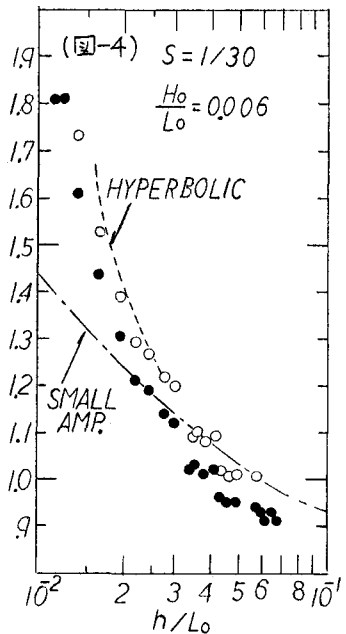
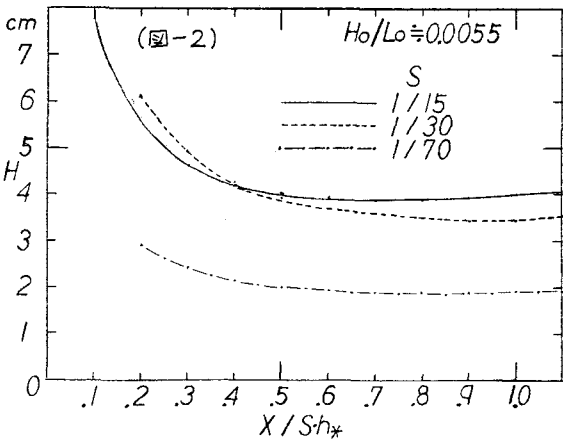
(H/H_0) の無次元表示をする事が多い。この Shoaling cm の実験は古くは Wiegel, Eagleson, Iversen 等により行なわれていて、岩垣・酒井等によるとも詳細な実験が行なわれている。しかし彼らの結果で H_0 の求め方に差がある事から、それらの実験結果に差がある。一般に沖波波高 H_0 の推定方法としては(図-1)に示すように、水平床部の波高(H_x)、水深(h_x)、周期(T)より、線形理論による浅水係数を用いて H_0 を推定する方法、水平床部の波を有限振幅波(Stokes波)として H_0 を推定する方法、それと深水部から水平床部までの Energy Loss を考慮して H_0 を推定する方法などが用いられてきた。(図-2)に $(H_0/L_0) \approx 0.0055$

の場合の各勾配に対する波高の変形を示す。この $0.5 \leq (X/Sh_x) \leq 1.0$ の領域では、線形波動理論、ストークス理論による波高変化式では波高は増加する範囲であるが、実験曲線は最初波高が低下し、斜面の途中から上昇をはじめる。勿論水平床部においても、水底・側壁摩擦によって波高は進行に伴って減衰している。この事は、水平床部から斜面へ波が進入しても、その波はすぐ斜面には至ります。斜面の水平床部に近い範囲では水平床部での波の性質を強く有しているものと思われる。

次に(図-3)の各波に対し、各位置の H 、 h 、 T より線形波動理論の浅水係数より冲波波高(H_0)を計算したものが(図-3)である。(図-3)より X 印より冲側は波が斜面にない領域であり、 X とO印の間はほぼ一定の H_0 を示す事が分かる。この領域では線



(図-1)



形変形理論に一致した変形をしている事も窺

味している。この事を考慮すると X印点の H, h, T から沖波波高 H_0 を線形変形理

論より推定するのが妥当と思われる。(例)

4) は H_0 の推定法の違いによる波高変化の一

例を示したものである。図中の●印は、水底部の H_*, h_* , T より線形浅水係数を用いて H_0 を求めそれにより実験値を整理したものである。○印は、(図-3)の X印の点の H, T, h より線形理論による浅水係数を用いて H_0 を求めたも

のを整理したもので、この方法で整理した結果は、線形理論は得られる波高変化曲線より小さい値を示す事はなく、また各波動理論に良く一致する。この方法で Inversen の実験結果を整理すると (h/L_0) の大きい領域では線形変形理論に近い値を示す事がある。(図-3)で示した X印点は $S = 1/15, 1/30, 1/70$ で (H_0/L_0) > 0.0025 の範囲の実験から、水底部と斜面との境界 ($X = S \cdot h_*$ 点) より岸側の $L_* \sim 2L_*$ 地点となる。

§ 4. 波高変形理論との比較 我々が $S=1/15, 1/30, 1/70$ での

実験値と各波動理論による変形理論との比較を行なった。その結果は Ursell 数 (HL^2/h^3) ≤ 30 の範囲では線形理論に良く一致している。また (HL^2/h^3) ≥ 50 の範囲では碎波点の極く近傍を除くと Hyperbolic 波に一致して

いる。また $30 < (HL^2/h^3) < 50$ の範囲は Stokes 波と線形理論の中間に似た値を示す。首藤は非線形長波理論より次の式を得ている。ただし $L \cdot U = gHT^2/h^2 \leq 30$ の範囲は非線形理論で充分といっている。

$$30 \leq U \leq 50 \quad H \cdot h^{\frac{2}{3}} = C_{50} \quad \dots \dots \dots (1)$$

$$U \geq 50 \quad H \cdot h^{\frac{5}{3}} \cdot [\sqrt{U} - 2\sqrt{3}] = C_{100} \quad \dots \dots \dots (2)$$

(1), (2) 式の C_{50}, C_{100} は一つの波の変化に対しては一定値となるが、一方ここで C_{50} は $U=50$ の場合の C の値を意味し、 C_{100} は $U=100$ の場合の値を示す。実験値と (1), (2) 式との比較を (図-5) に示す。図から明らかなように、首藤の式は碎波点の極く近傍を除くと非常に良く一致を示す。 $U \geq 50$ の場合はクリード波の領域であるから、前節で述べた Hyperbolic 波に一致する事と符号する。この式中の C_{50}, C_{100} を調べた結果が (図-6) である。(図-6) から明らかなるように、水底勾配 $S \leq 1/30$ で (H_0/L_0) < 10^2 の範囲では、 S に関係なく (H_0/L_0) のみに関係してい、(H_0/L_0) が大きくなるにつれて、 C_{50}, C_{100} も大きくなり、 $S=1/70$ の場合には C_{50} と C_{100} の差はない事も示している。この事は首藤の式の仮定が長波で L かも水底勾配 S の小さい場合を仮定しているからである。

§ 5. 波速、波頂高、流速の変化 波速・波頂高・流速の変化を各波動理論との比較を行なった。波速については

$(HL^2/h^3) \leq 50$ では線形理論と一致し、 $(HL^2/h^3) \geq 80$ では Hyperbolic 波に一致している。また波頂高

については、 $(HL^2/h^3) \leq 20$ では Stokes 波理論と一致し、 $20 \leq (HL^2/h^3) \leq 80$ では Hyperbolic 波に一致し、 $(HL^2/h^3) > 80$ などの理論にも一致しない。流速については (h/z) 点で測定し最大水平流速と理論値と比較したかどの領域においても線形理論に一番近い事が明らかとなった。[参考文献] 首藤伸夫: 非線形長波の変形, 第 1 回海講 (1974), 佐伯浩・他; 進行波の Wave Crest Height について, 第 1 回海岸部論文集 (1975),

